

11A_Ant1_5785

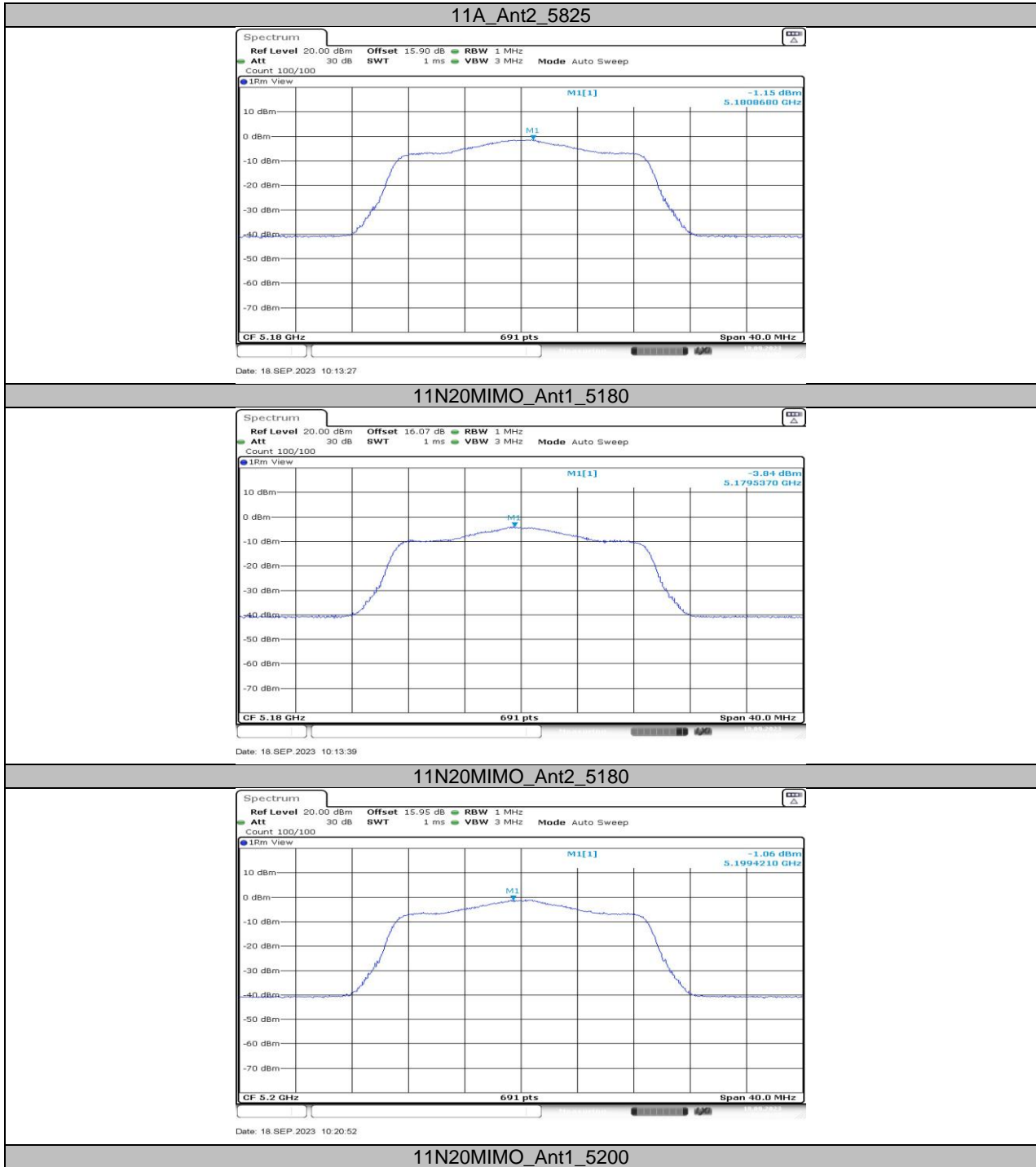


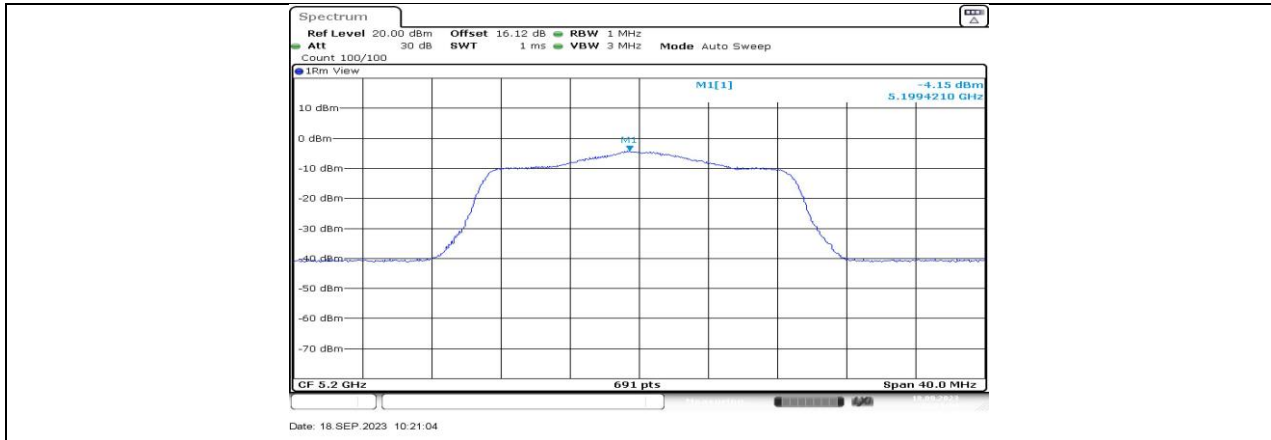
11A_Ant2_5785



11A_Ant1_5825







11N20MIMO_Ant2_5200

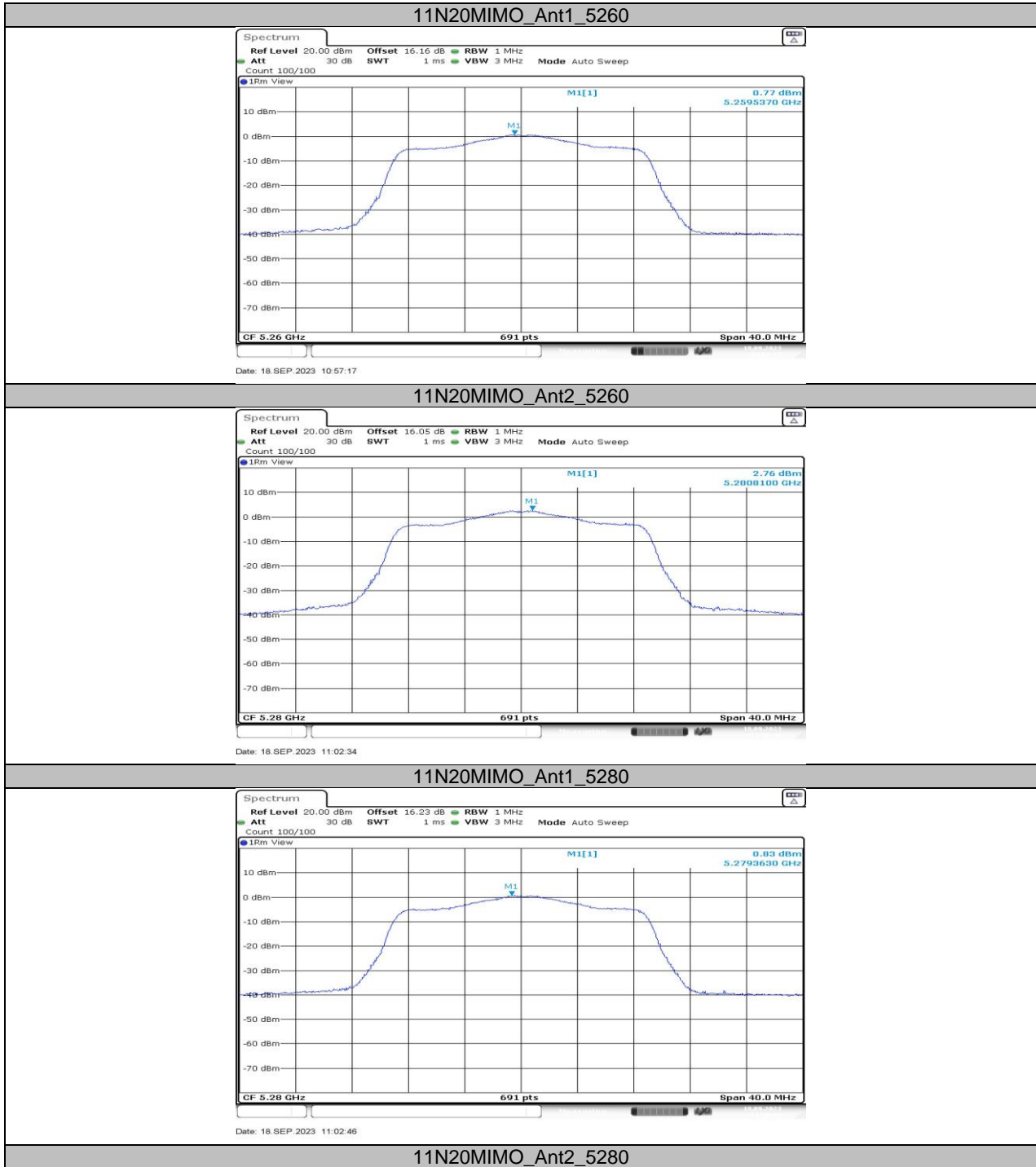


11N20MIMO_Ant1_5240



11N20MIMO_Ant2_5240







11N20MIMO_Ant1_5320

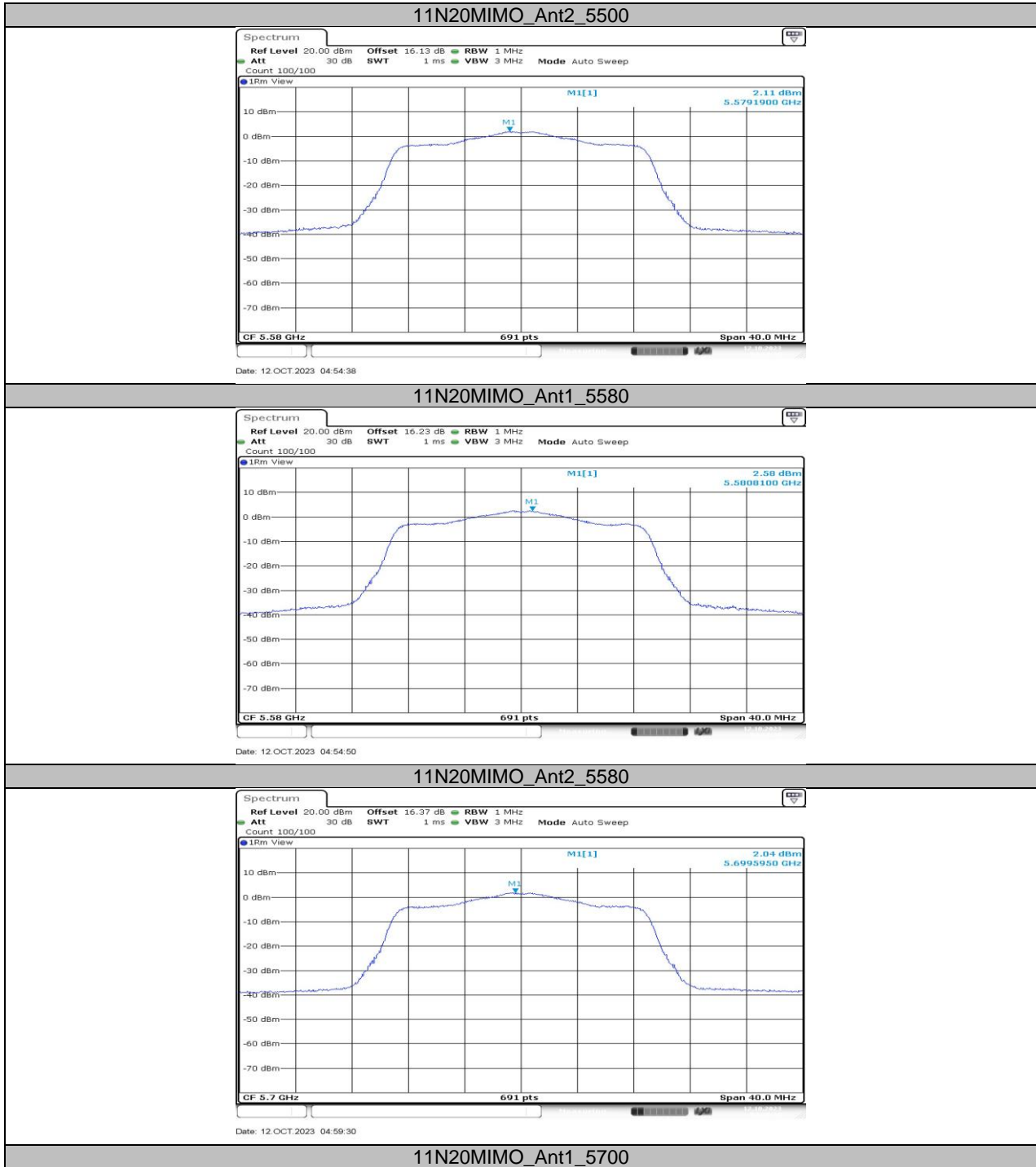


11N20MIMO_Ant2_5320



11N20MIMO_Ant1_5500







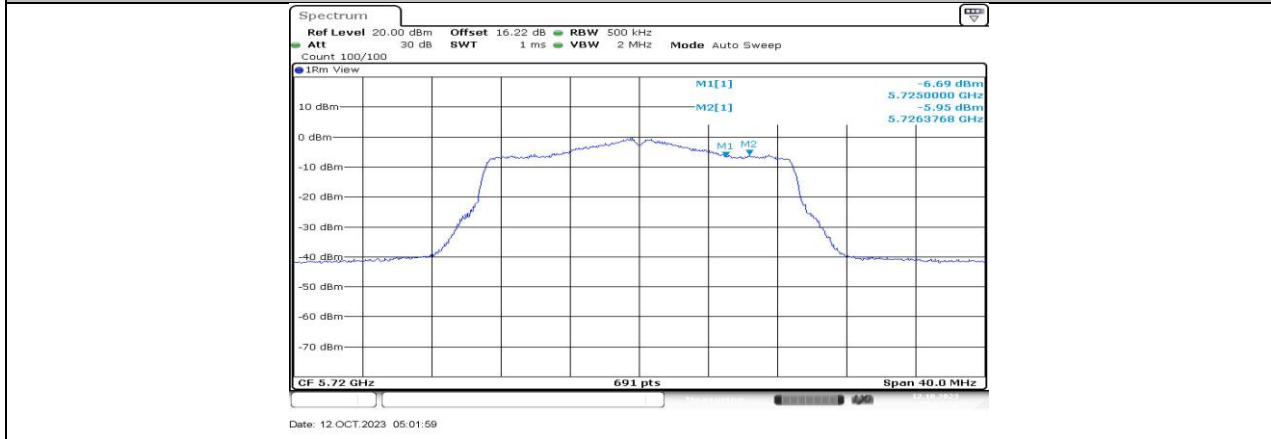
11N20MIMO_Ant2_5700



11N20MIMO_Ant1_5720_UNII-2C



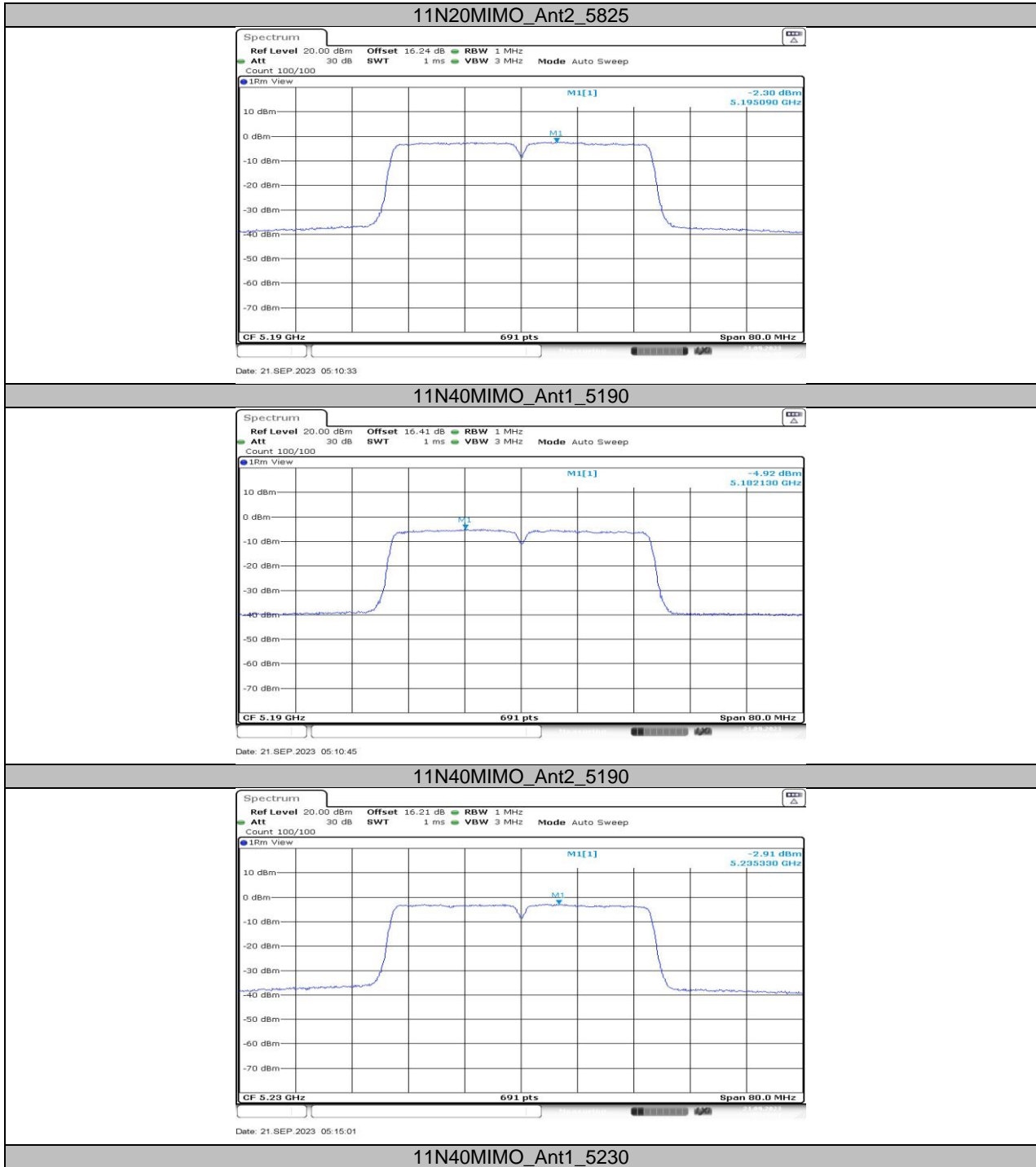
11N20MIMO_Ant2_5720_UNII-2C

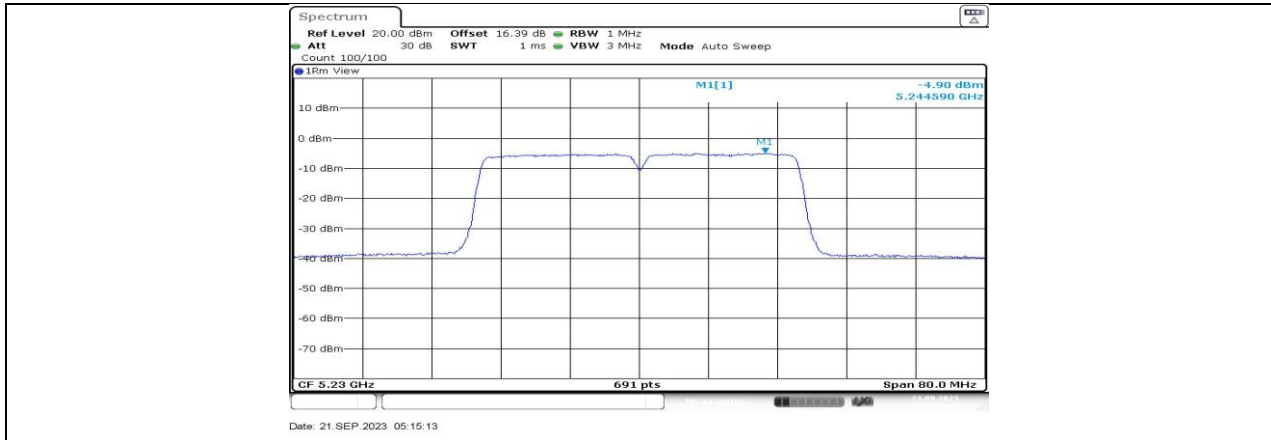




11N20MIMO_Ant2_5745



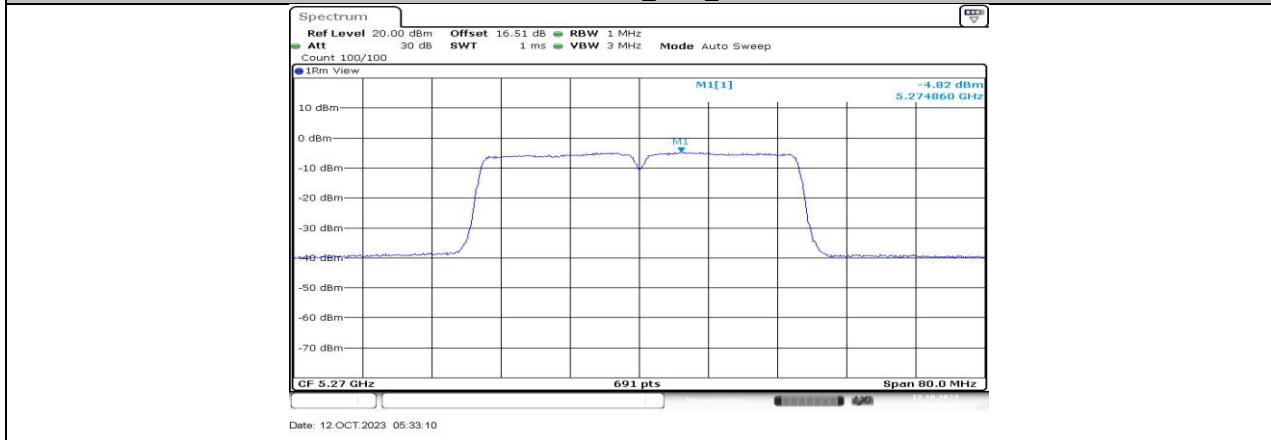




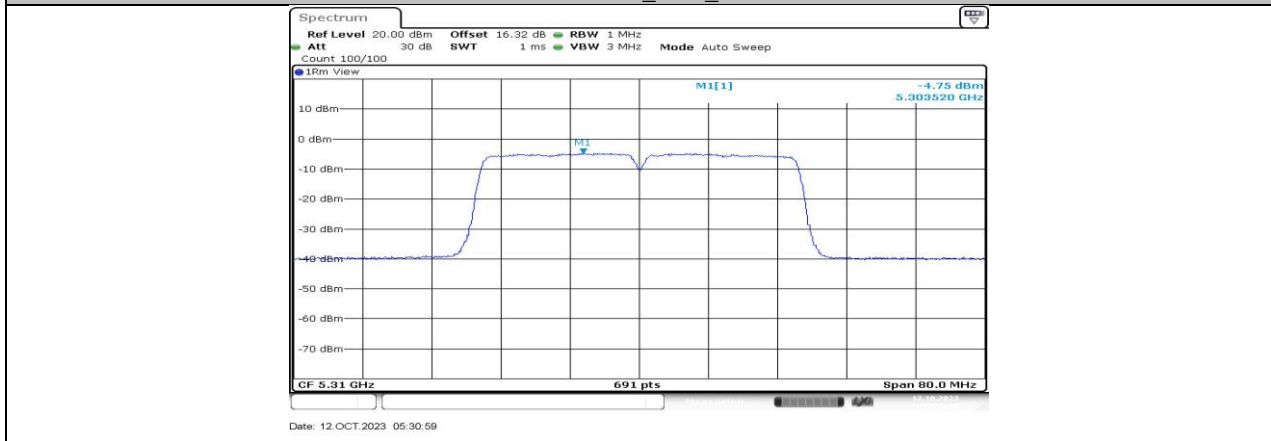
11N40MIMO_Ant2_5230

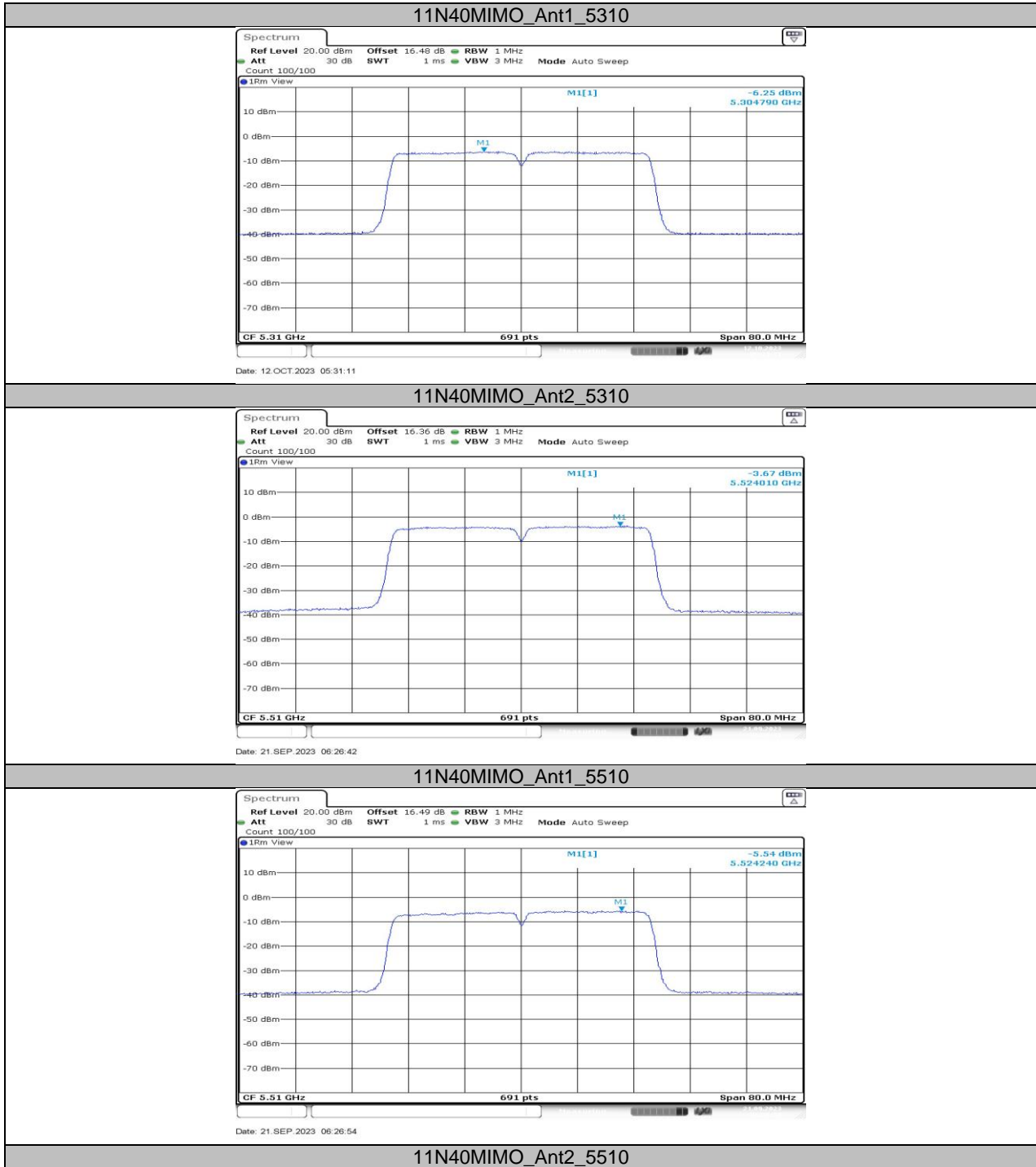


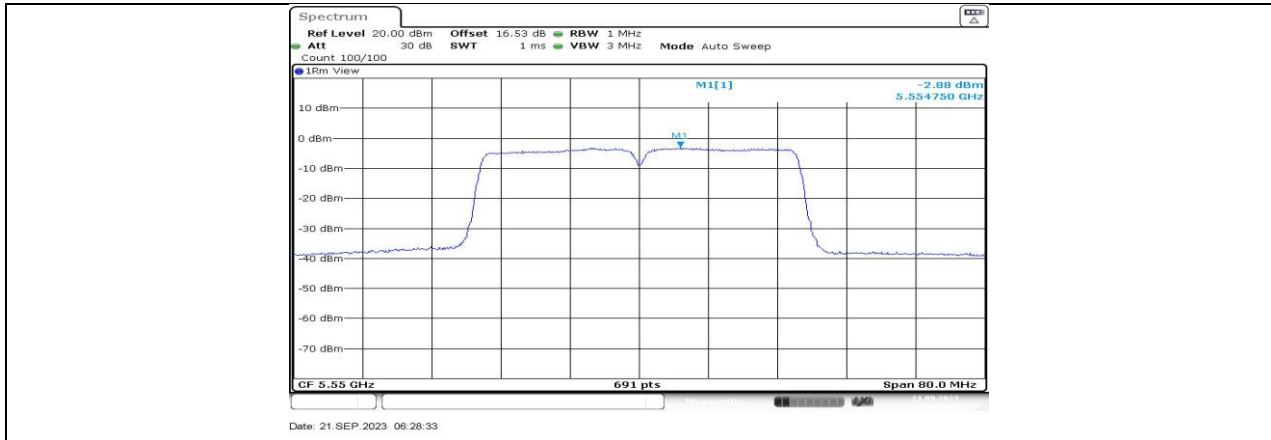
11N40MIMO_Ant1_5270



11N40MIMO_Ant2_5270



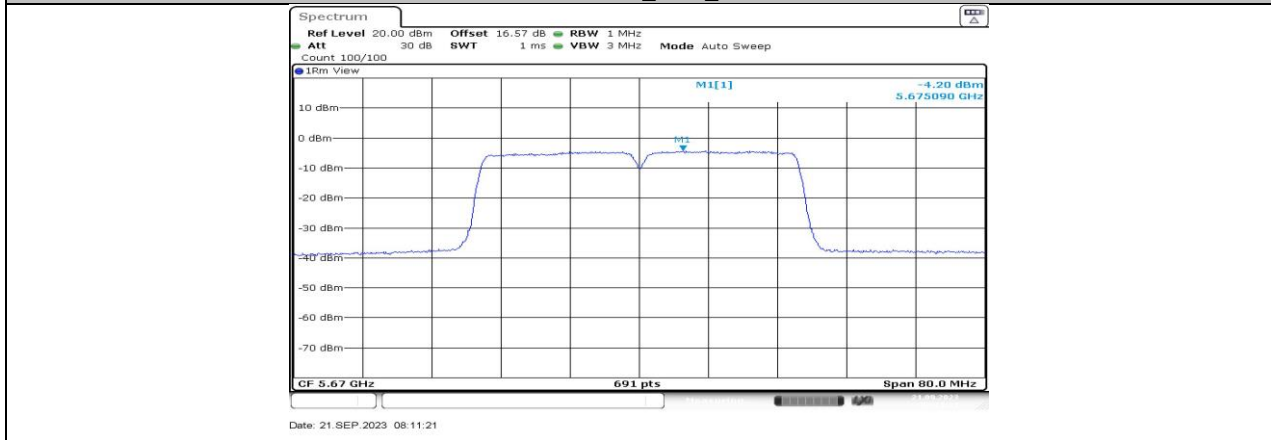




11N40MIMO_Ant1_5550

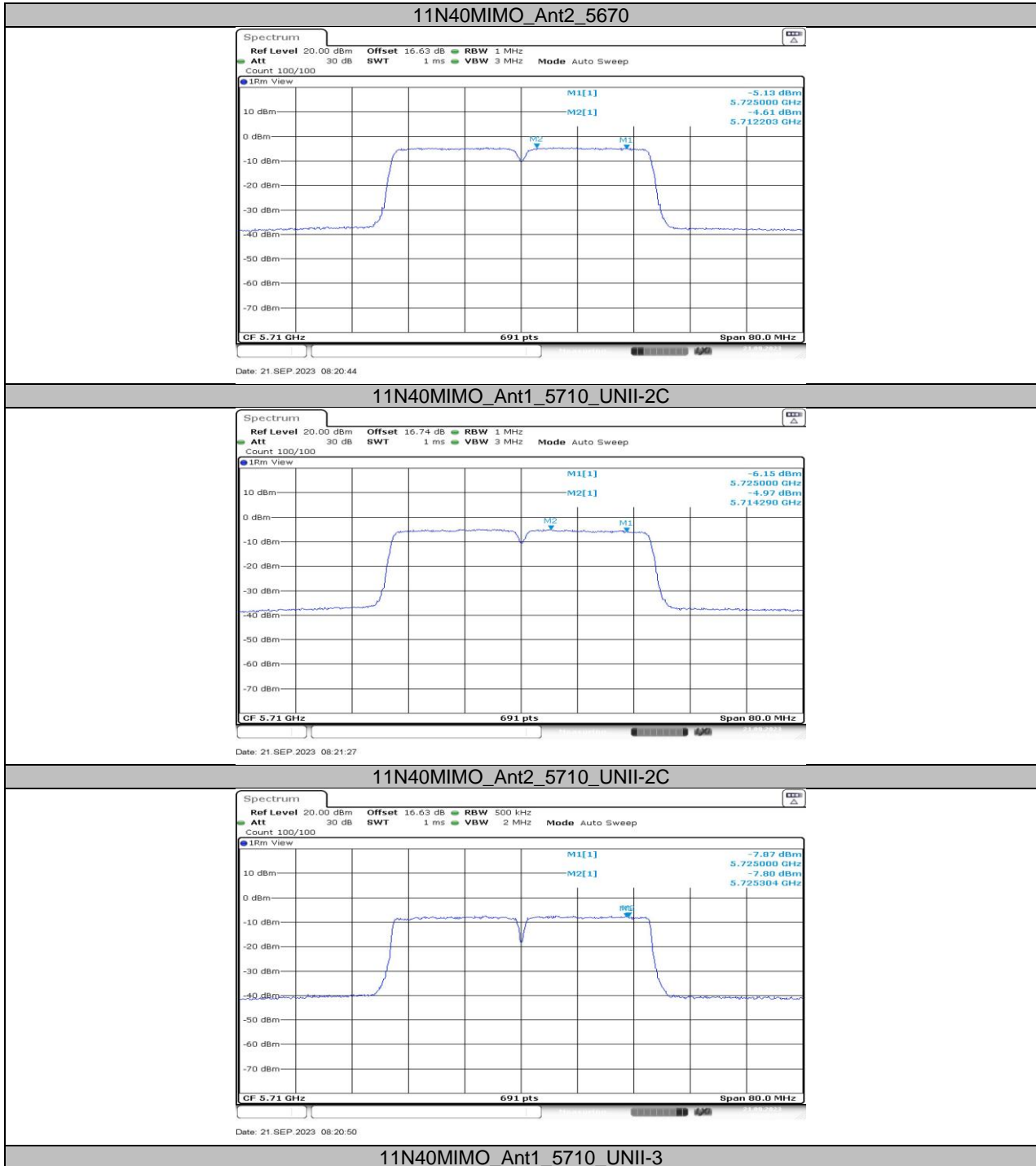


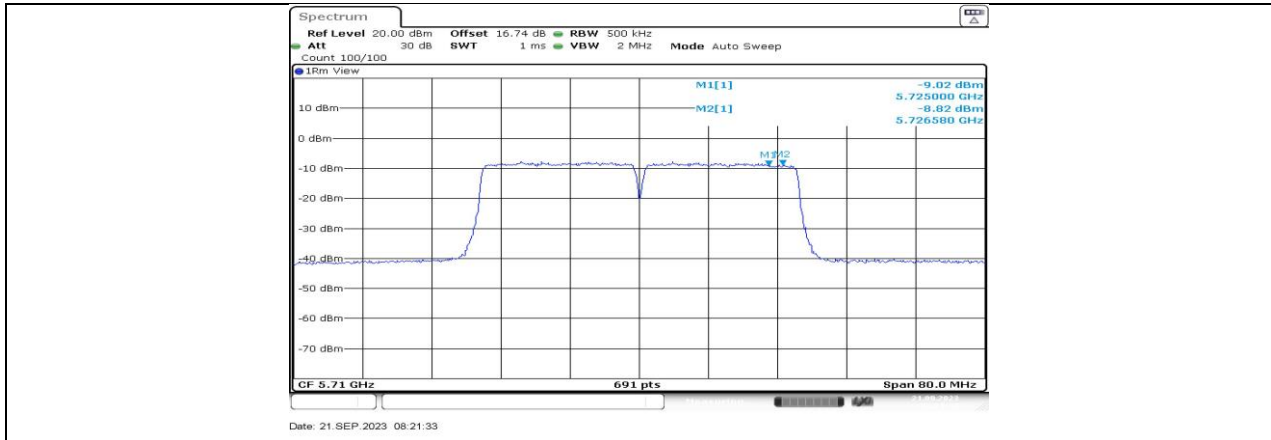
11N40MIMO_Ant2_5550



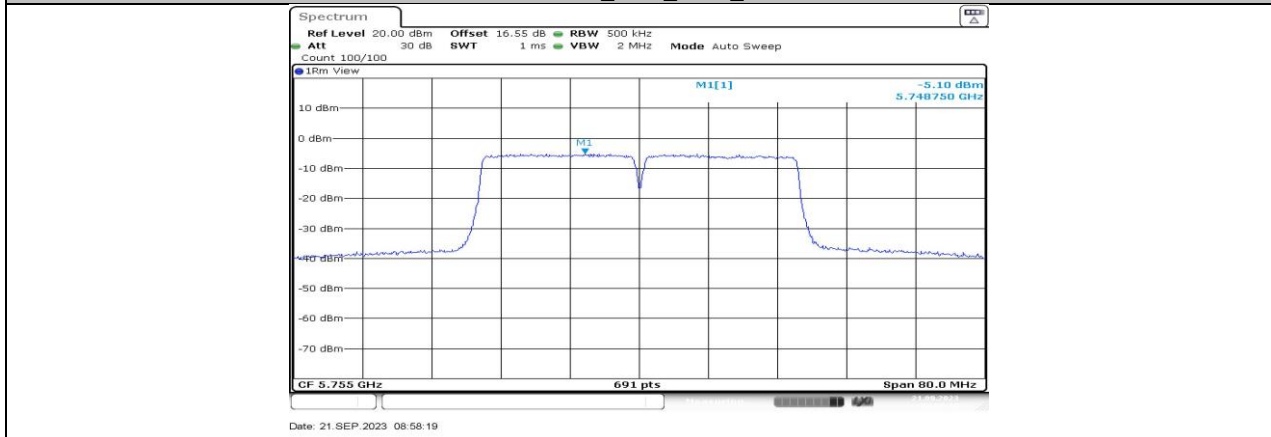
11N40MIMO_Ant1_5670



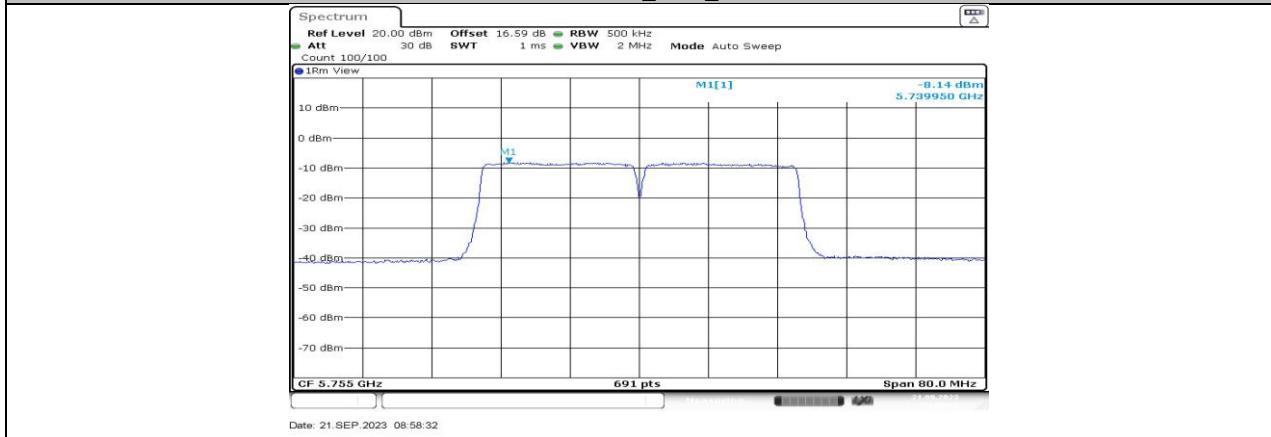




11N40MIMO_Ant2_5710_UNII-3

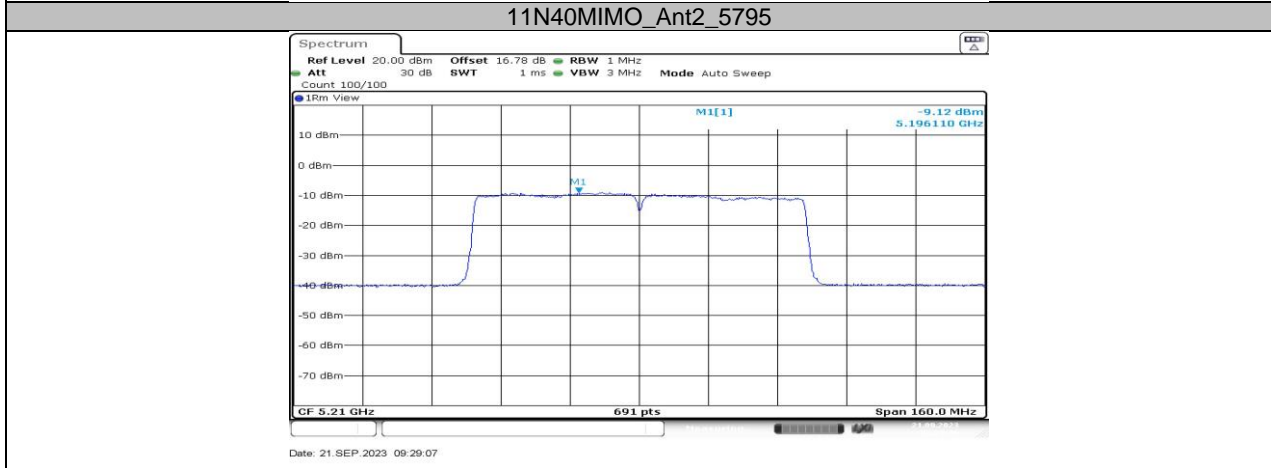


11N40MIMO_Ant1_5755



11N40MIMO_Ant2_5755

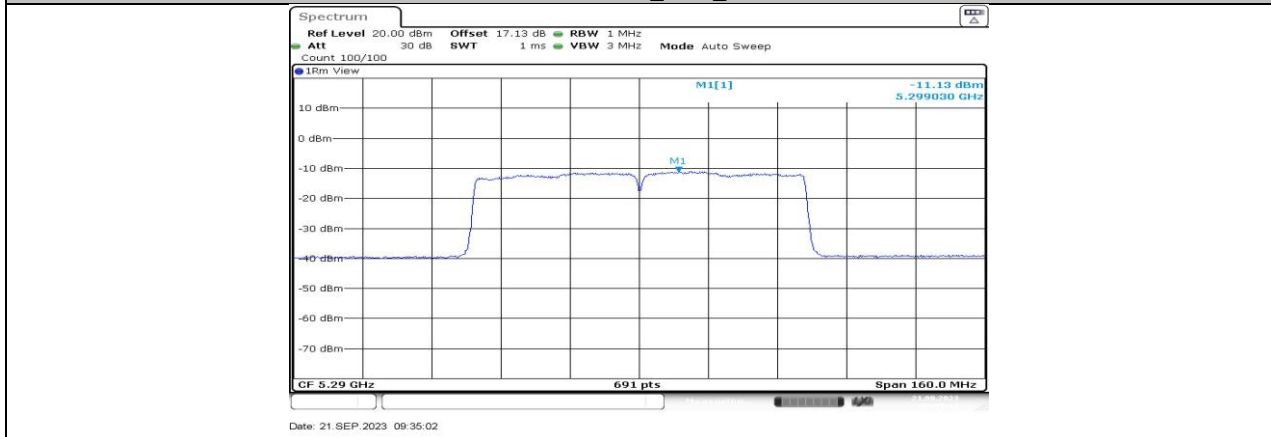




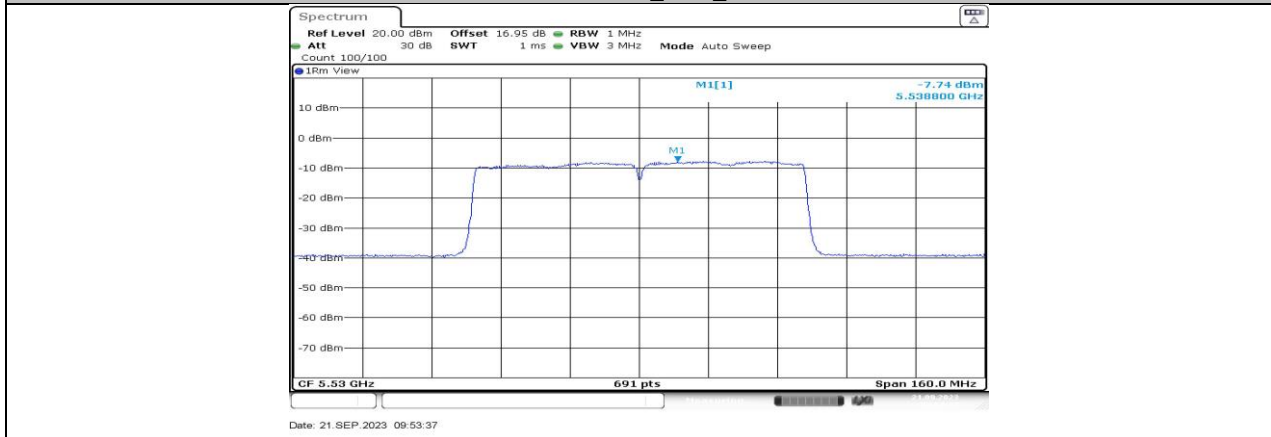
11AC80MIMO_Ant2_5210



11AC80MIMO_Ant1_5290

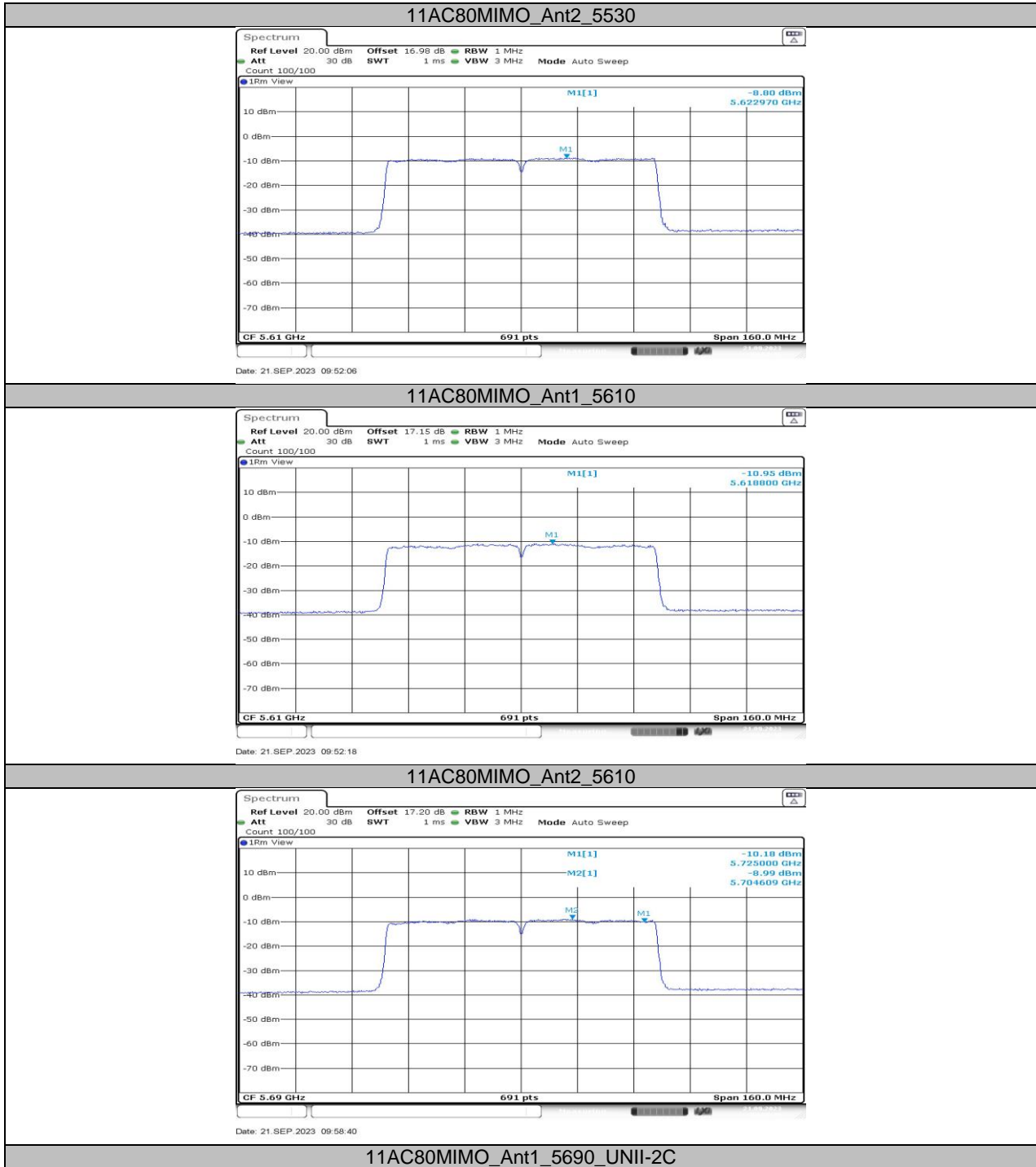


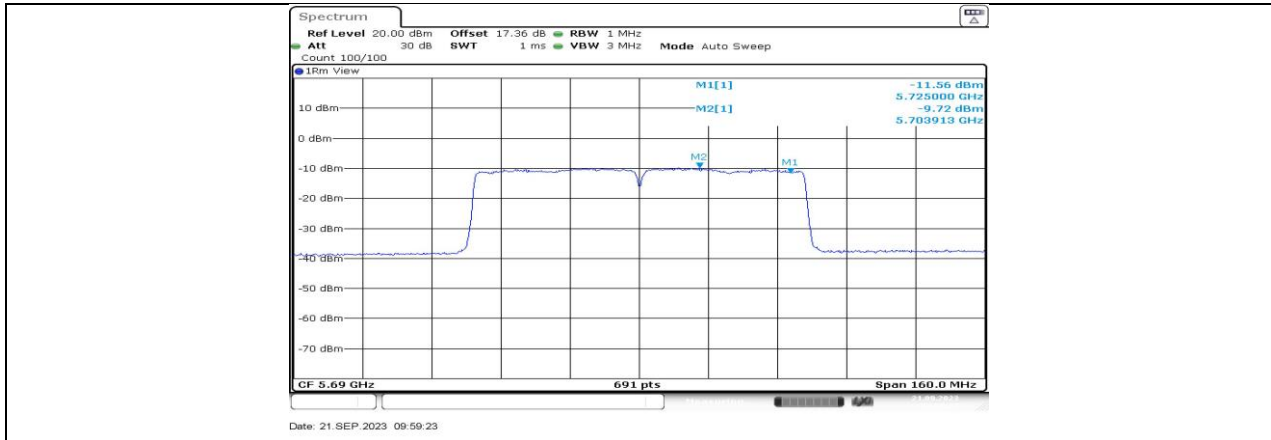
11AC80MIMO_Ant2_5290



11AC80MIMO_Ant1_5530







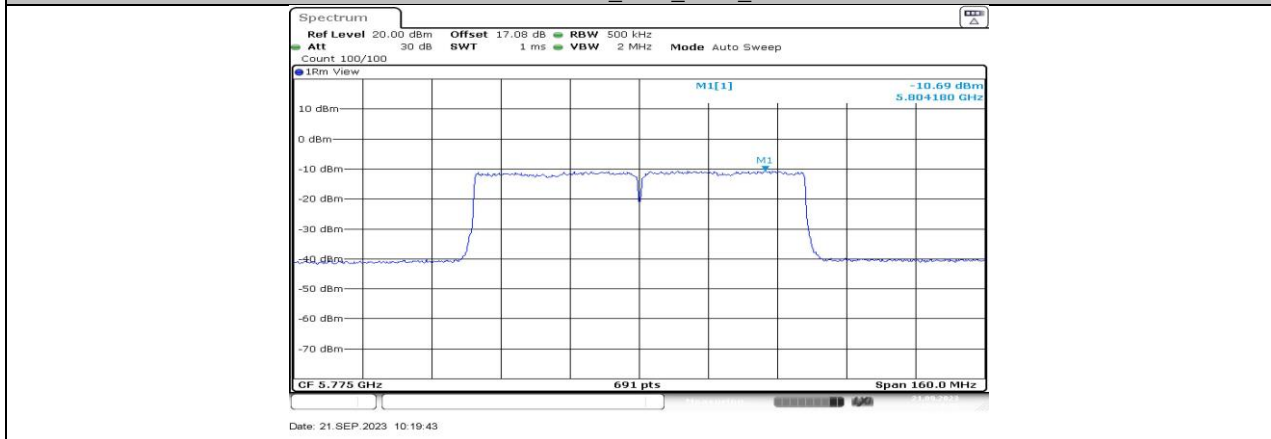
11AC80MIMO_Ant2_5690_UNII-2C

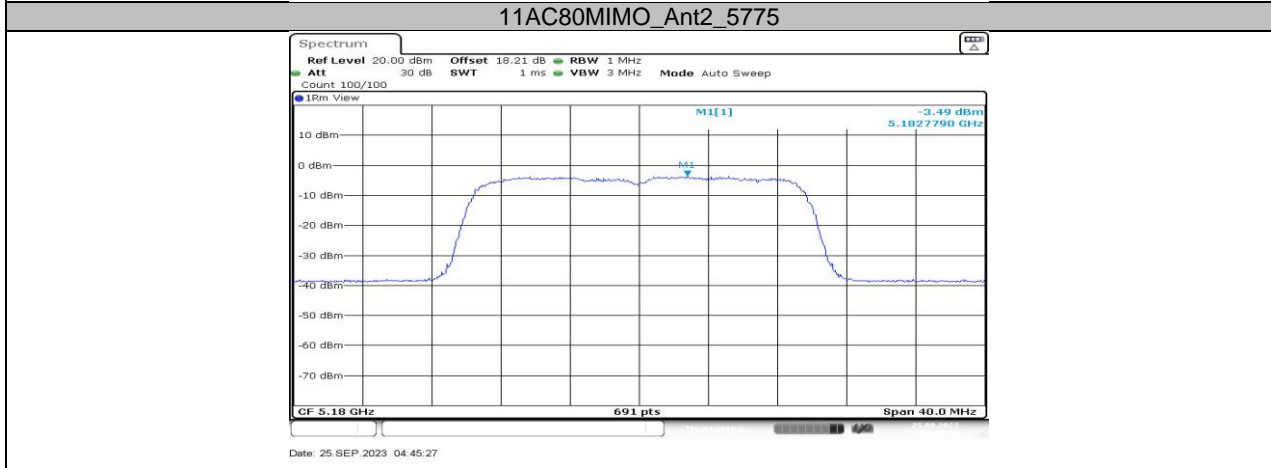


11AC80MIMO_Ant1_5690_UNII-3

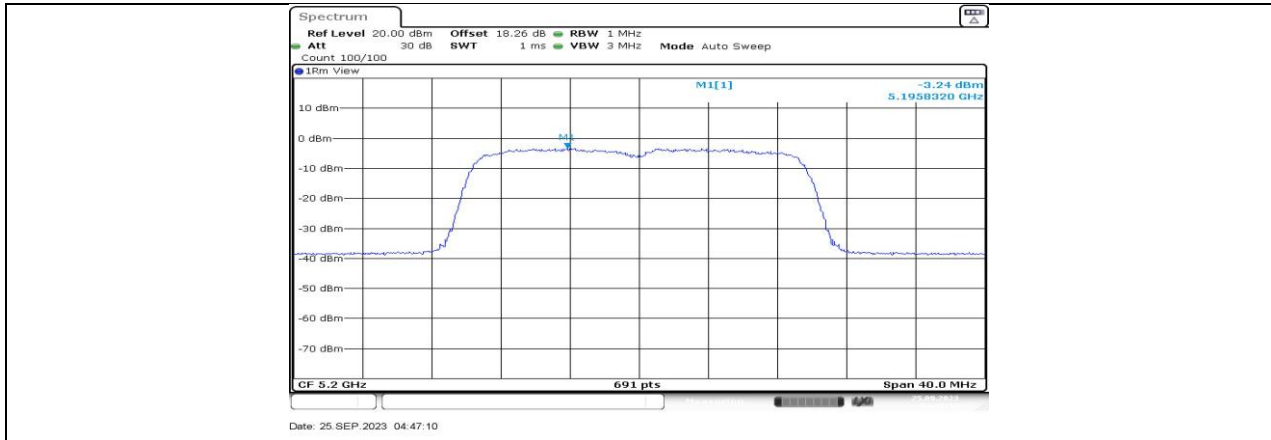


11AC80MIMO_Ant2_5690_UNII-3





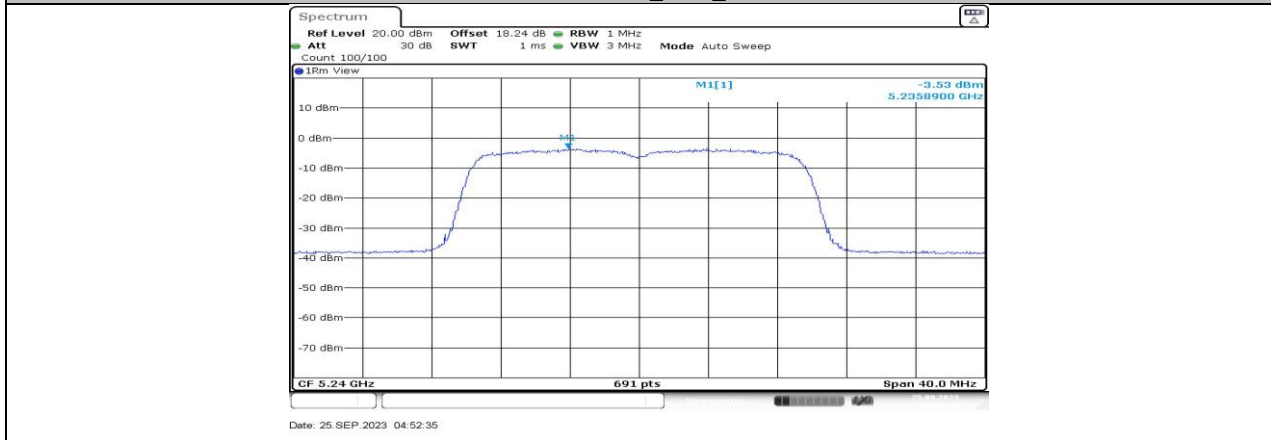
11AX20MIMO_Ant2_5180



11AX20MIMO_Ant1_5200

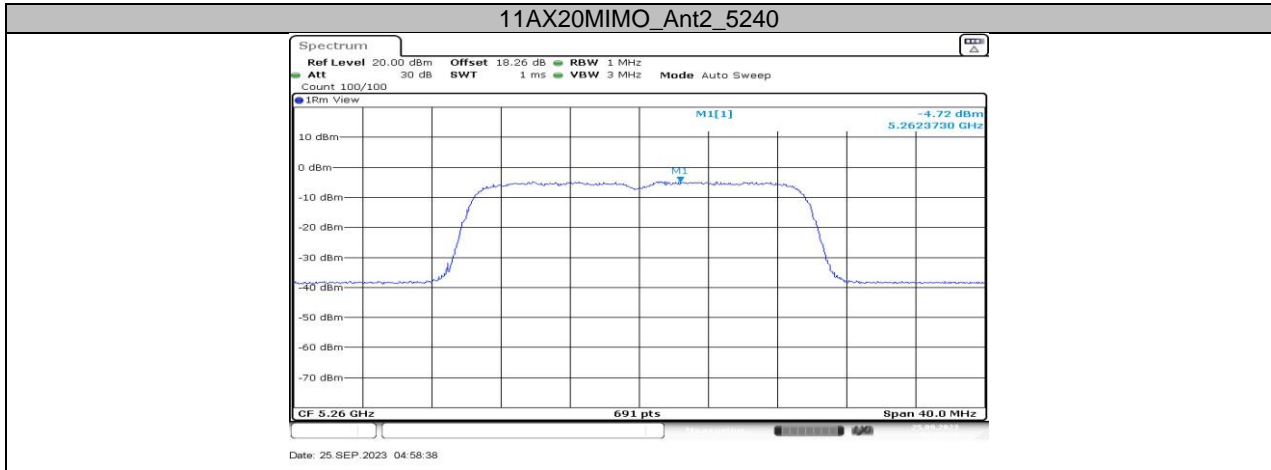


11AX20MIMO_Ant2_5200

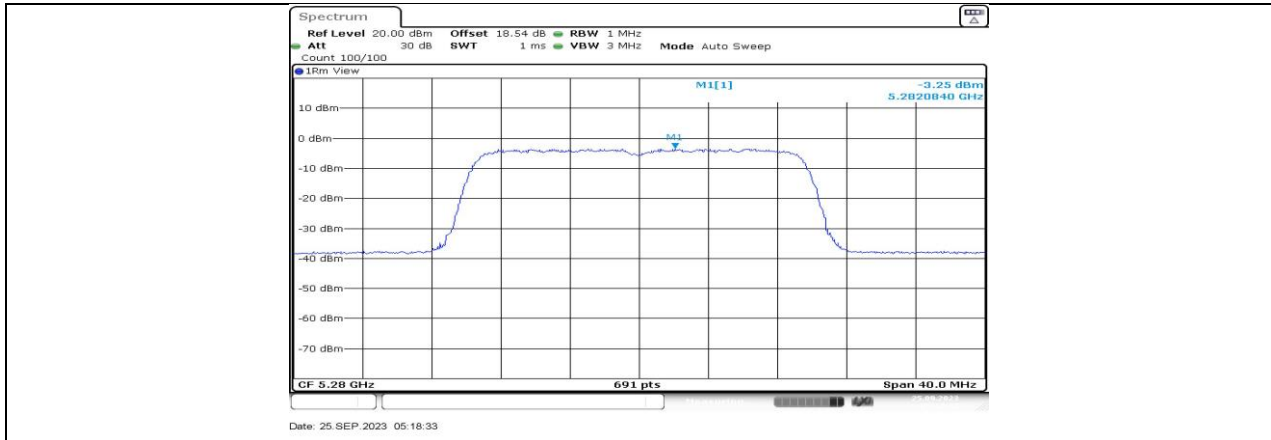


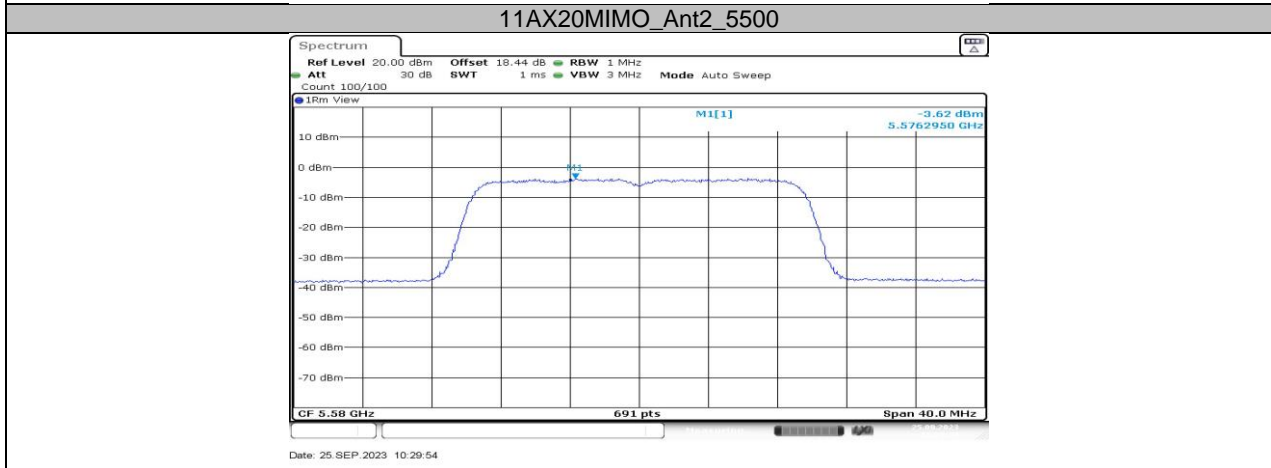
11AX20MIMO_Ant1_5240



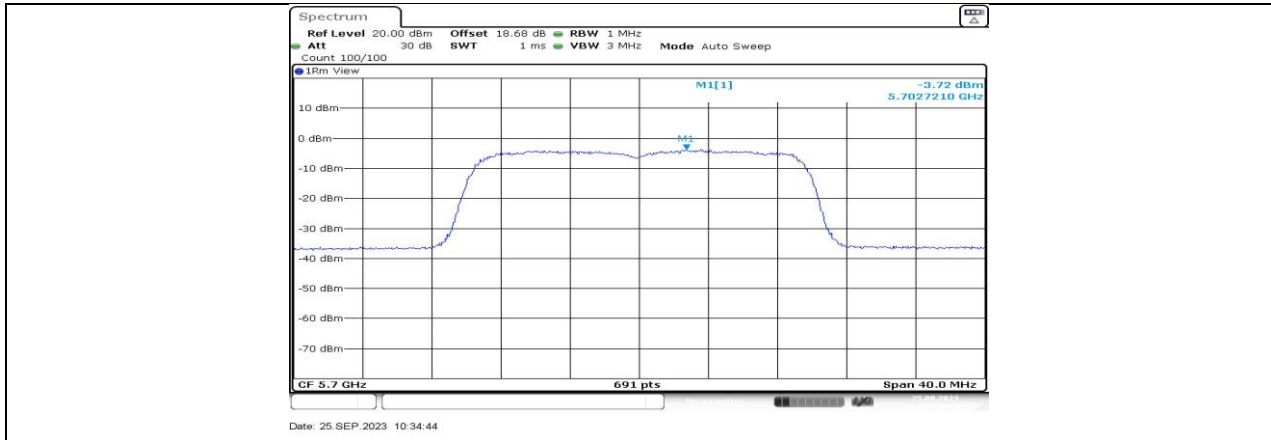


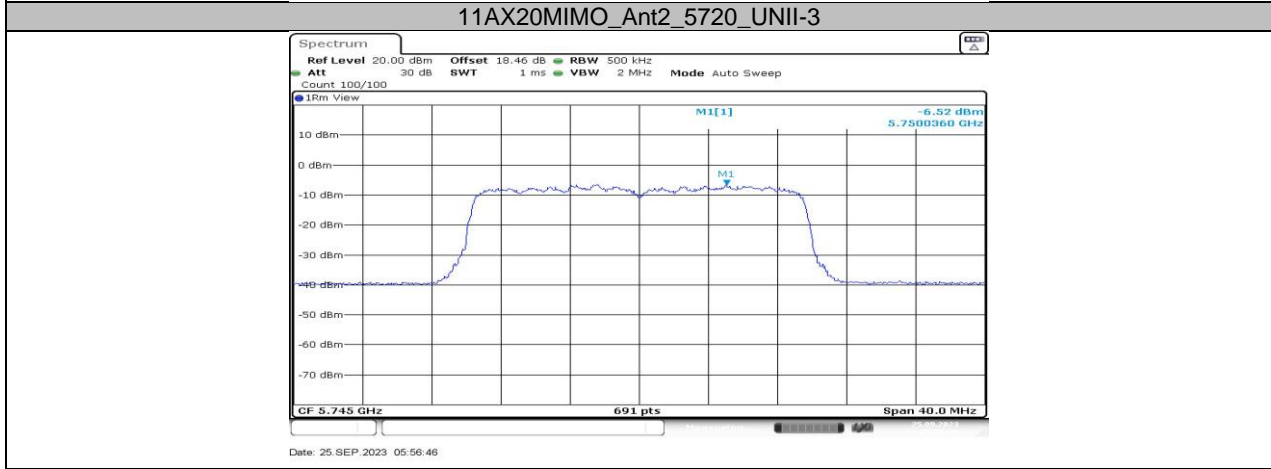
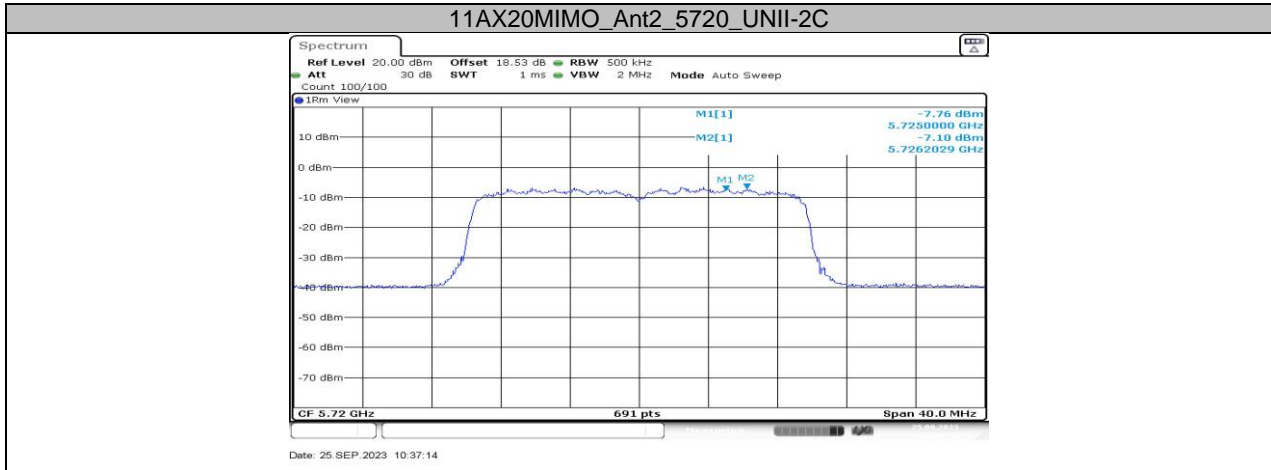
11AX20MIMO_Ant1_5280



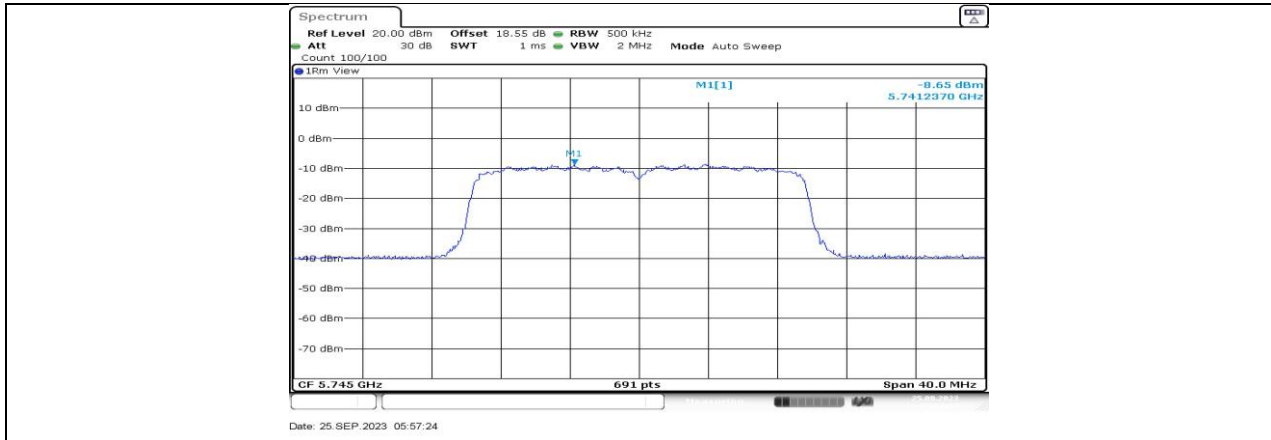


11AX20MIMO_Ant2_5580

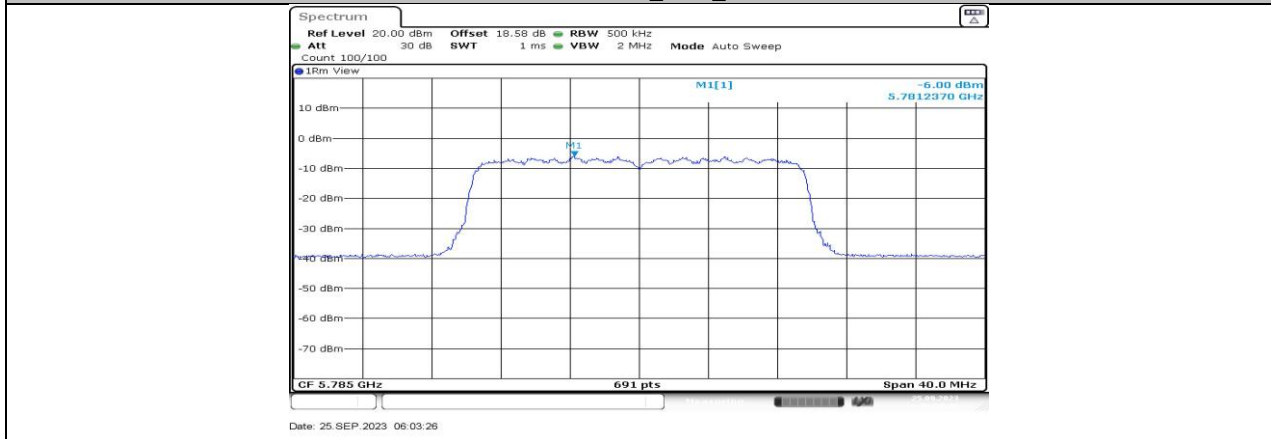




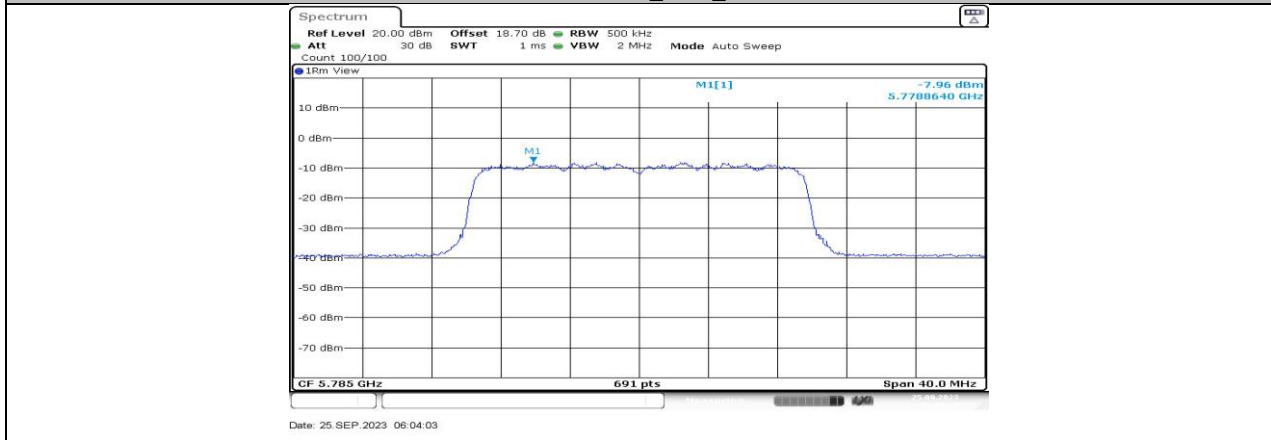
11AX20MIMO_Ant1_5745



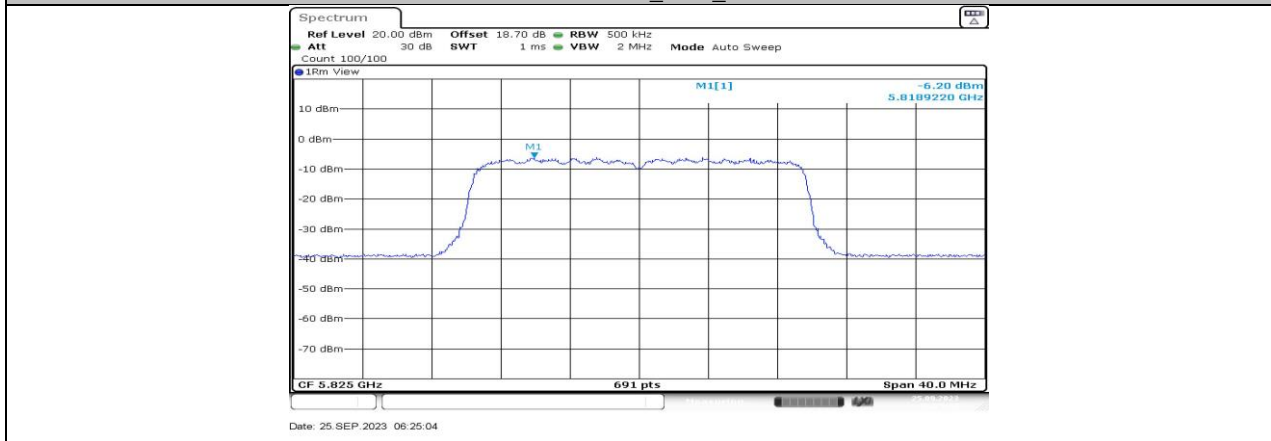
11AX20MIMO_Ant2_5745

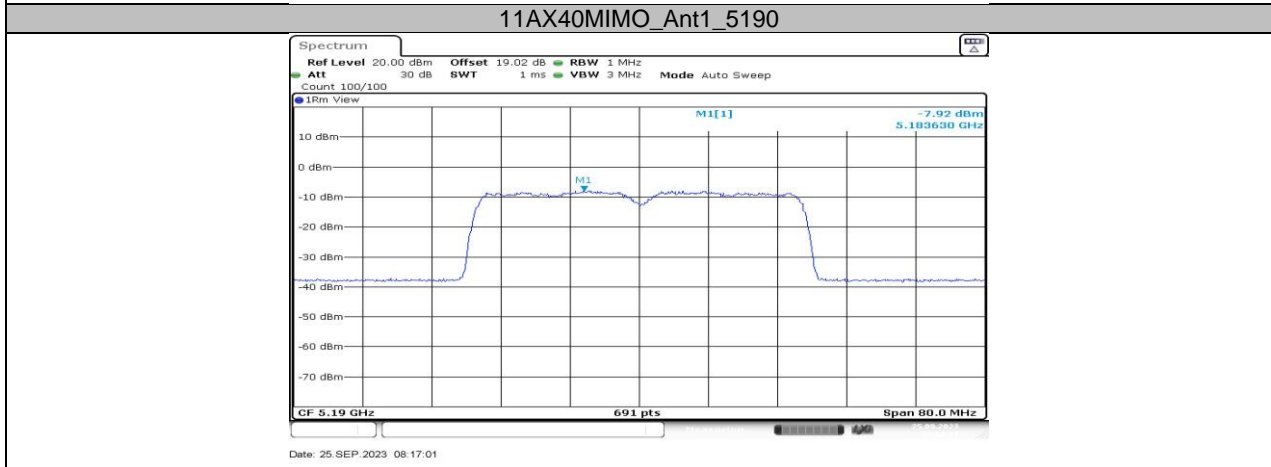
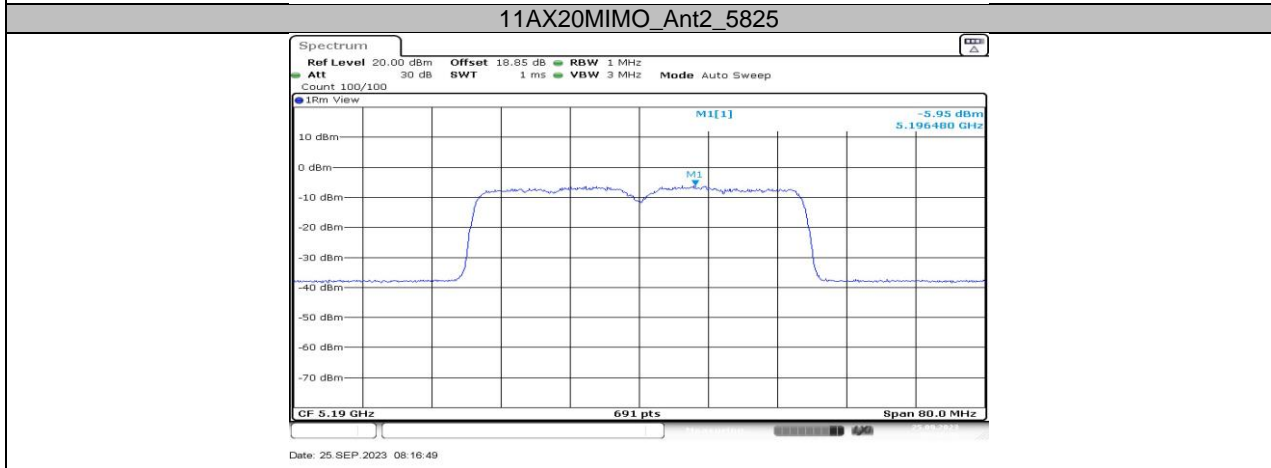


11AX20MIMO_Ant1_5785

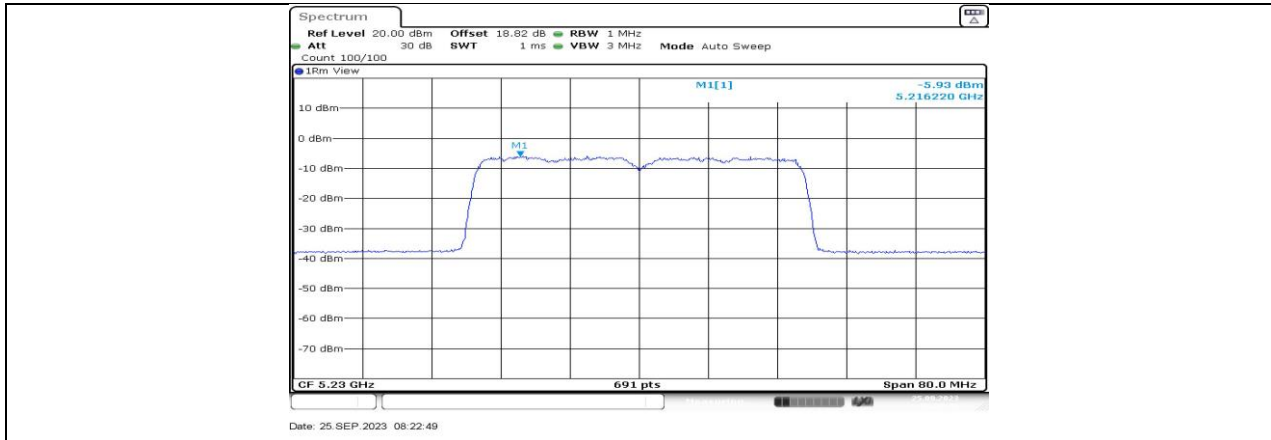


11AX20MIMO_Ant2_5785

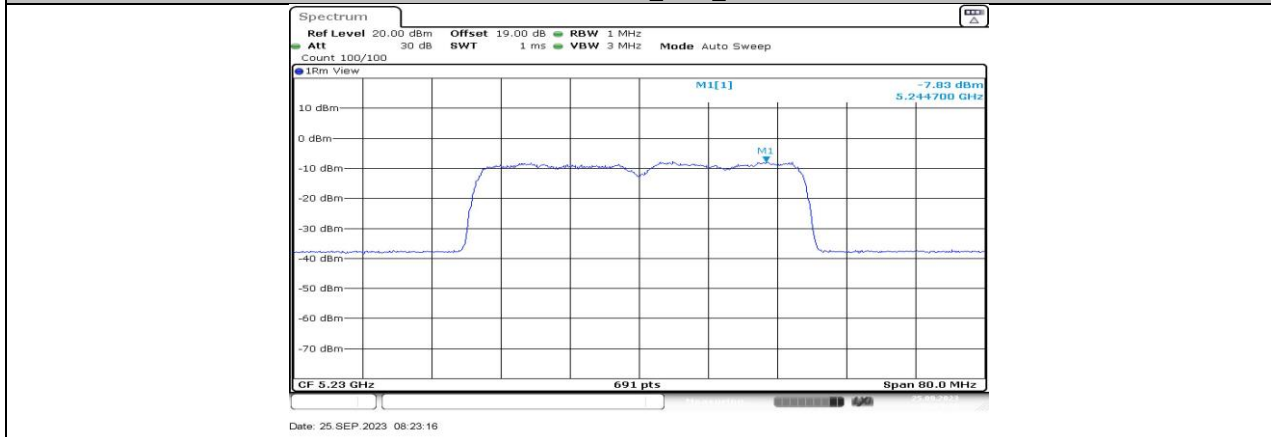




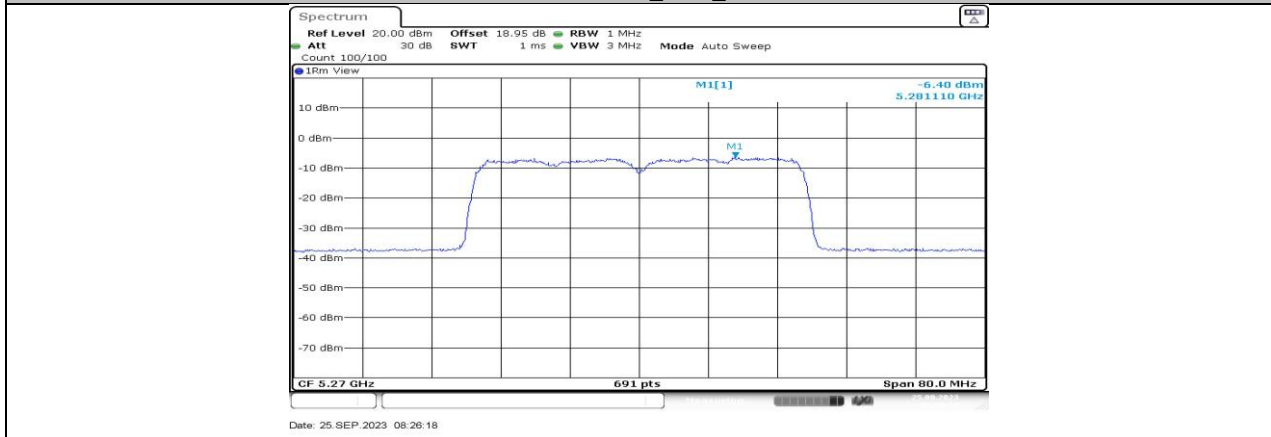
11AX40MIMO_Ant2_5190



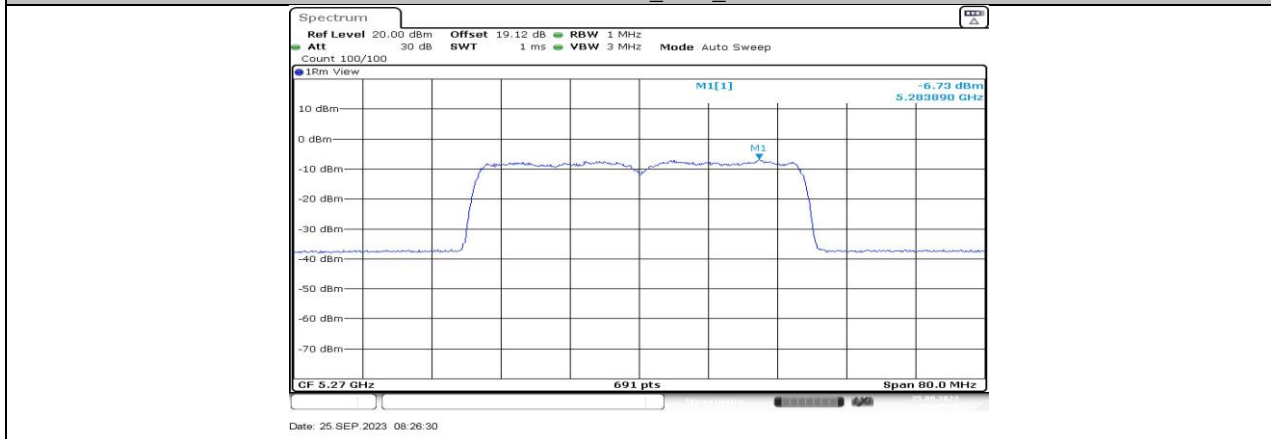
11AX40MIMO_Ant1_5230

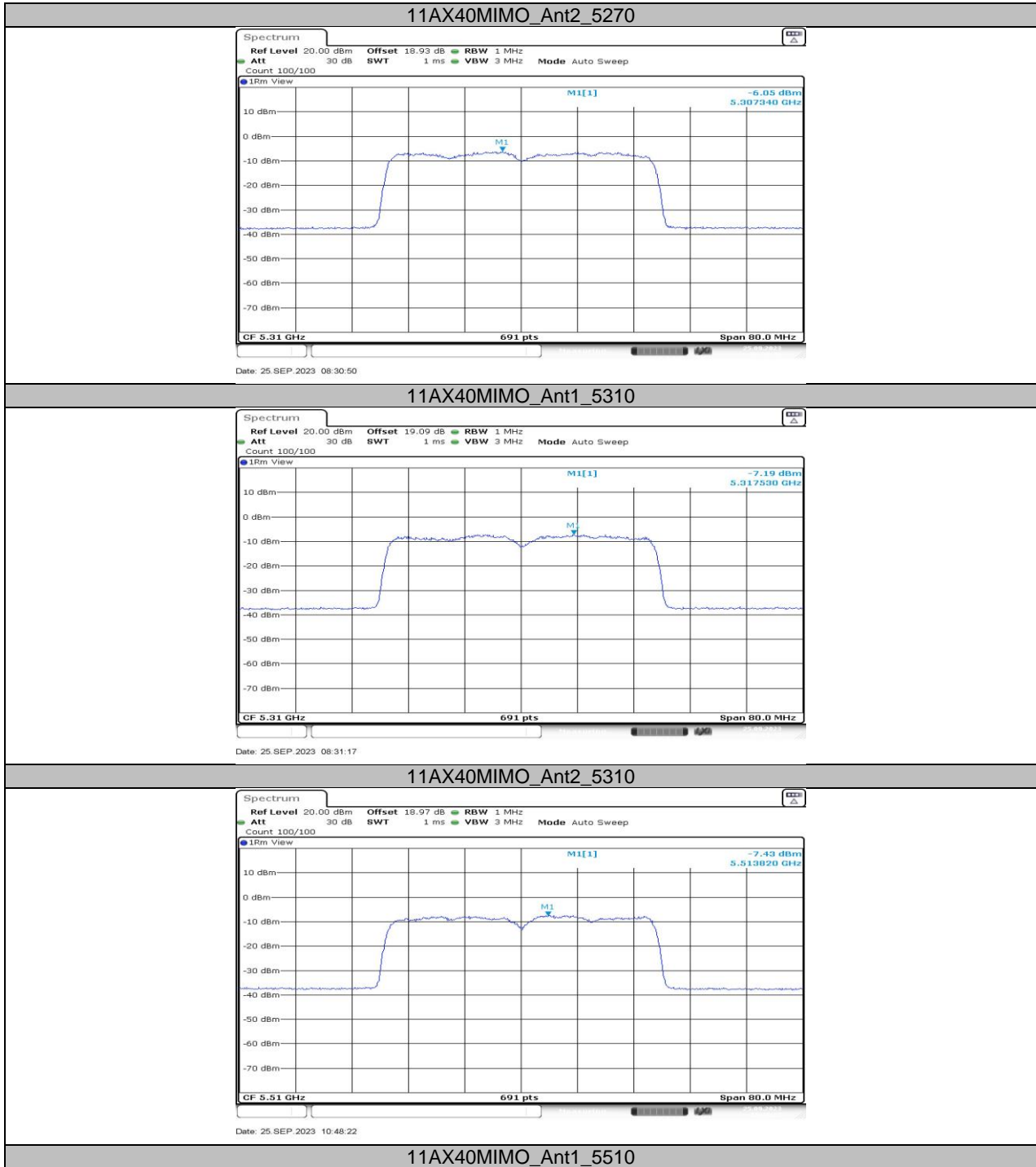


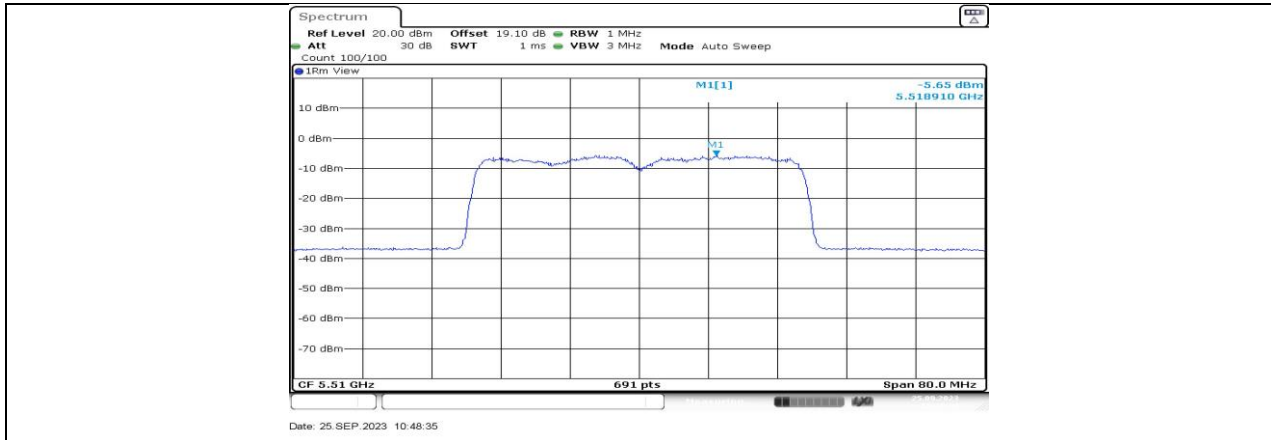
11AX40MIMO_Ant2_5230



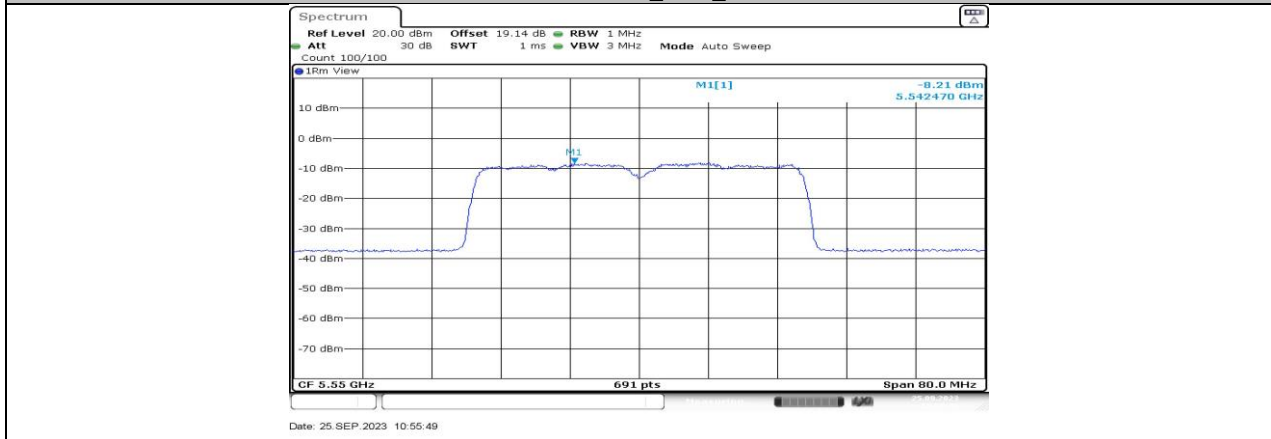
11AX40MIMO_Ant1_5270







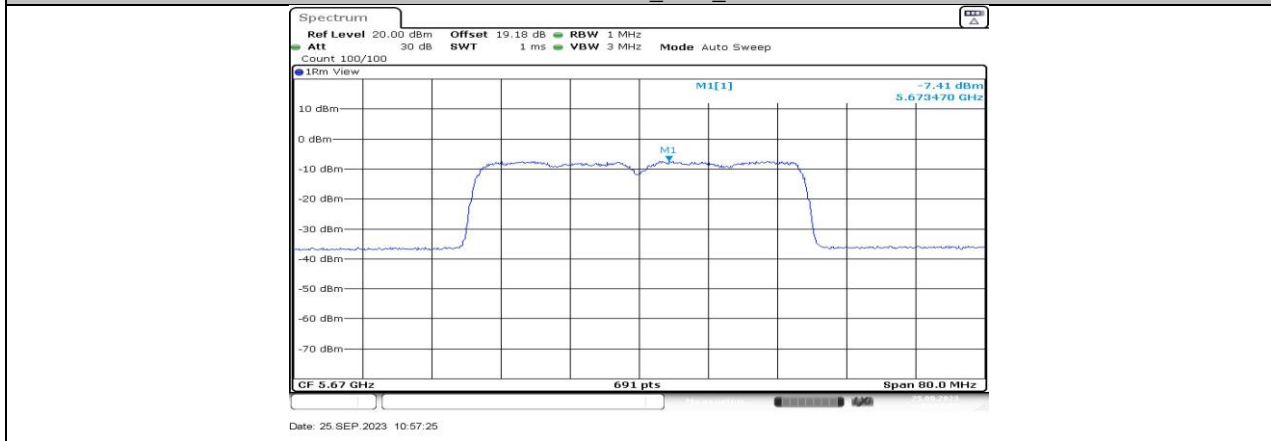
11AX40MIMO_Ant2_5510

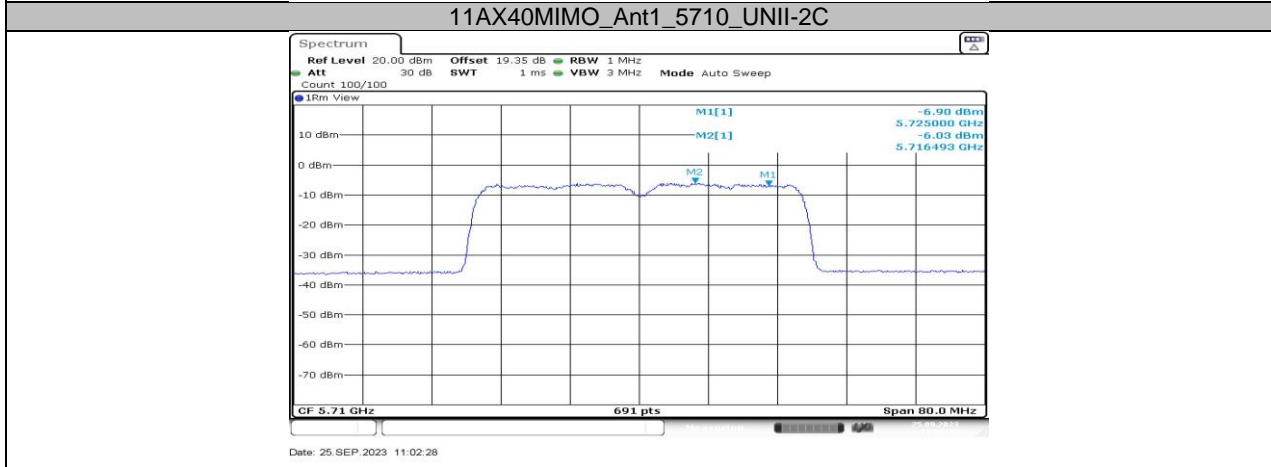
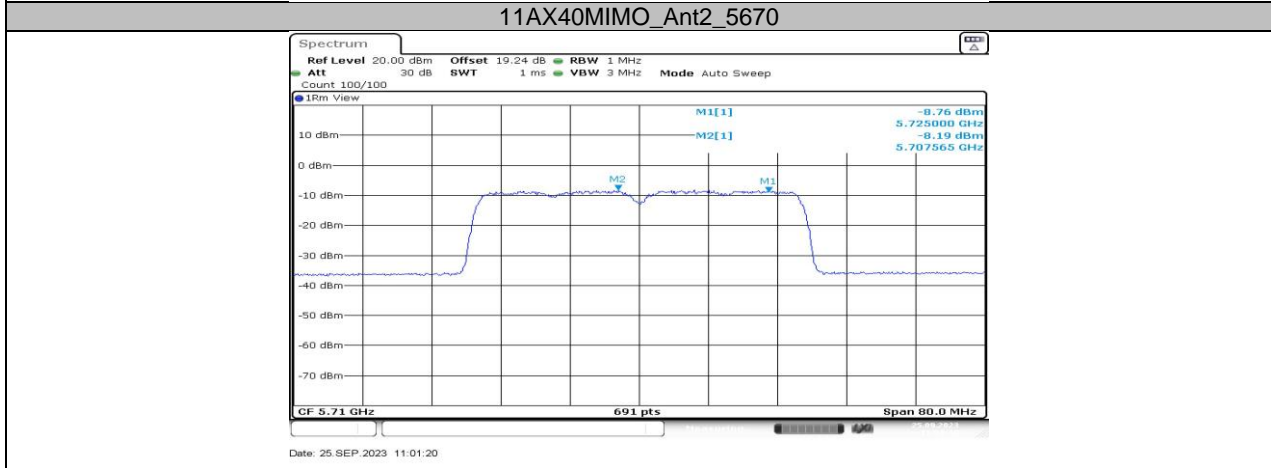


11AX40MIMO_Ant1_5550



11AX40MIMO_Ant2_5550





11AX40MIMO_Ant2_5710_UNII-2C

